

УДК 621.317.738

## РАСЧЕТ ЭЛЕКТРИЧЕСКИХ ПОЛЕЙ ЗЕРКАЛЬНО-СИММЕТРИЧНЫХ НАКЛАДНЫХ ИЗМЕРИТЕЛЬНЫХ КОНДЕНСАТОРОВ

*канд. техн. наук, доц. А.А. ДЖЕЖОРА*  
*(Институт технической акустики НАН Беларусь, Витебск)*

*Целый ряд композиционных полимерных материалов, применяемых в народном хозяйстве, обладает ортогональной анизотропией физико-механических свойств и относится к ортотропным средам. В ортогональной системе координат диэлектрические характеристики среды (диэлектрическая проницаемость, проводимость) выражаются тензором диагонального вида. Примерами таких сред являются различные волокнистые и слоистые структуры, ткани, искусственные пленки, покрытия, стеклопластики, бумага, композиции волокон. В случае совпадения осей координат X, Y, Z с осями анизотропии диэлектрическая проницаемость анизотропного диэлектрика выражается тензором второго ранга [1]*

$$\begin{vmatrix} \varepsilon_x & 0 & 0 \\ 0 & \varepsilon_y & 0 \\ 0 & 0 & \varepsilon_z \end{vmatrix}.$$

*Константы тензора диэлектрической проницаемости  $\varepsilon_{ij}$  являются характеристиками материала и несут сведения о составе, структуре, влажности материала, т.е. входят в комплекс исходной информации для диагностики качества материалов, прогнозирования их деформационных и прочностных свойств.*

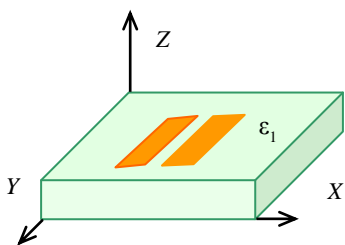
Для неразрушающего контроля диэлектрических свойств ортотропных полимерных материалов используют преобразователи, создающие плоскопараллельные поля. Таковыми являются: ленточные накладные измерительные конденсаторы (НИК) [1], ленточные накладные измерительные конденсаторы с дополнительным плоским экраном (ЭНИК), зеркально-симметричные ленточные накладные измерительные конденсаторы (ЗСНИК) [2].

Применительно к случаю, когда силовые линии электрического поля ленточных электродов НИК замыкаются в плоскости анизотропии ZOX (в соответствии с рисунком 1) рабочая емкость равна [1]:

$$C_1 = \sqrt{\varepsilon_z \varepsilon_x} \varepsilon_0 K(k)/K(k') l = \sqrt{\varepsilon_z \varepsilon_x} \varepsilon_0 A, \quad (1)$$

где  $A$  – геометрический коэффициент, определяемый размерами электродов;  $\varepsilon_0$  – электрическая постоянная.

Выражение (1) легко в основу методик неразрушающего определения анизотропии диэлектрических свойств ортотропных материалов. В [3] рассмотрена методика неразрушающего определения со-



ставляющих тензора диэлектрической проницаемости  $\varepsilon_{ij}$  в случае доступа к двум ортогональным поверхностям исследуемого материала. В зависимости от схемы расположения ленточных электродов на контролируемой поверхности материала (согласно рис. 1), измеренные диэлектрические проницаемости для ортотропных материалов равны:

$$\varepsilon_1 = \sqrt{\varepsilon_z \varepsilon_x}; \quad \varepsilon_2 = \sqrt{\varepsilon_y \varepsilon_x}; \quad \varepsilon_3 = \sqrt{\varepsilon_y \varepsilon_z}.$$

Рис. 1. Схема расположения электродов НИК при определении анизотропии физических свойств

Составляющие тензора диэлектрической проницаемости  $\varepsilon_x, \varepsilon_y, \varepsilon_z$  определяются следующим образом:

$$\varepsilon_x = \varepsilon_1 \varepsilon_2 / \varepsilon_3; \quad \varepsilon_y = \varepsilon_2 \varepsilon_3 / \varepsilon_1; \quad \varepsilon_z = \varepsilon_1 \varepsilon_3 / \varepsilon_2.$$

Относительная чувствительность емкости НИК на единицу длины электродов к изменению константы тензора диэлектрической проницаемости  $\varepsilon_x$  не зависит от геометрических размеров НИК и равна

$$S = \partial C_1 / C_1 \partial \varepsilon_x = 1/2\varepsilon_x.$$

Несмотря на кажущуюся, на первый взгляд, простоту методики определения основных констант тензора диэлектрической проницаемости, при её практическом осуществлении возникает ряд затруднений. Значения констант  $\varepsilon_x, \varepsilon_y, \varepsilon_z$  для широкого класса материалов различаются незначительно. Поэтому погрешность, обусловленная воздушным зазором или неплотным прилеганием электродов к контроли-

руемой поверхности, может не только достигнуть недопустимых значений, но и качественно изменить представление об анизотропии исследуемого материала. В этой связи возникает необходимость в определении констант тензора диэлектрической проницаемости без перестановки НИК. Для решения этой задачи использовались устройства [4]. Изменение направления вектора напряженности электрического поля достигалось либо коммутированием электродов с помощью переключателя, либо применением двух НИК, электроды которых сдвинуты друг относительно друга на угол осей анизотропии (в частном случае для измерения ортогональной анизотропии на угол  $\alpha = 90^\circ$ ). В [1] показано, что более рационально измерение разности или отношения констант коэффициентов анизотропии по сравнению с нахождением их абсолютных значений. В случае измерения разности высокая чувствительность измерительного устройства может быть достигнута в результате применения дифференциального способа измерения, а в случае отношения констант – путем применения дискретных делителей сигналов. Определяя такими способами попарно две разности констант или два отношения на основе точного значения одной из них, определенной в условиях, обеспечивающих наибольшую точность, можно рассчитать и остальные константы. Поскольку отдельные константы отличаются одна от другой всего на несколько процентов, то погрешности измерения в соответствии с рассмотренной методикой равны разности погрешностей измерения абсолютных значений двух констант.

Оценивая применение накладных преобразователей для неразрушающего контроля анизотропии линейно-протяженных плоских материалов, следует отметить, что в случае однопараметрового контроля, согласно методикам [3], получить достоверные результаты об анизотропии не представляется возможным. Это связано, в первую очередь, с задачей оптимизации конструкций преобразователей. Глубина зоны контроля преобразователя должна быть меньше минимальной толщины материала и, следовательно, изменение толщины не должно сказываться на результатах измерений. Только в этом случае выполняется выражение (1). Во-вторых, большая часть тонких полимерных материалов (искусственные и синтетические кожи, пленки, покрытия, ткани, картон, стеклопластики и т.д.) имеют неквазигомогенную структуру. Неоднородности структуры могут быть сравнимы с толщиной материалов. В силу этого выполнение узких ленточных электродов приведет к соразмерности неоднородностей и размеров НИК и, следовательно, к методическим погрешностям измерения. Кроме того, у линейно-протяженных полотнообразных материалов нет доступа к двум ортогональным поверхностям, а это не позволит определять константы диэлектрической проницаемости согласно [3].

Таким образом, возможности применения НИК в случае одностороннего доступа к контролируемой поверхности ограничены свойствами и размерами контролируемых изделий. Наиболее перспективными в этом случае являются методы определения анизотропии линейно-протяженных плоских материалов с использованием ЗСНИК [2] либо ЭНИК.

Рассмотрим секцию преобразователя в виде системы из зеркально-симметричных чередующихся электродов (рис. 2).

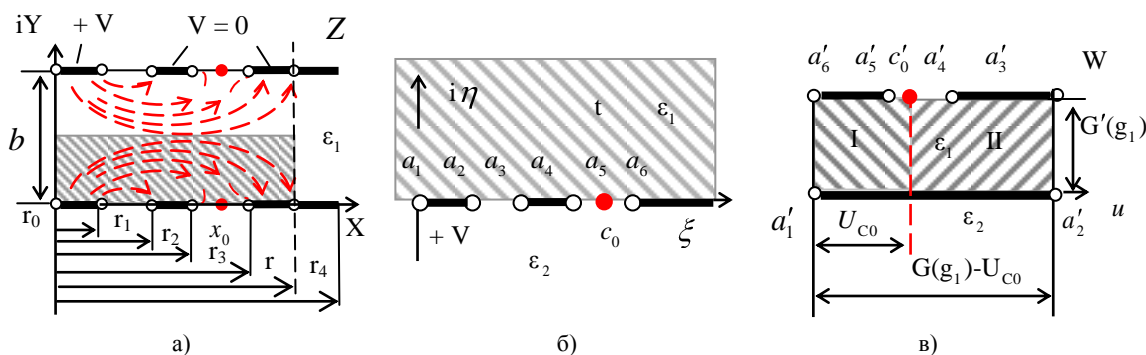


Рис. 2. Конформные преобразования для одной из секций ЗСНИК:  
а – поперечное сечение преобразователя (исходная область затонирована);  
б – преобразование исходной области на верхнюю полуплоскость  $t$ ;  
в – преобразование исходной области в прямоугольник

Будем полагать следующее:

- толщина подложки преобразователя  $b$  больше межэлектродных зазоров  $r_2 - r_1$ ,  $r_3 - r_2$  (в этом случае влиянием экрана подложки на характер поля в рабочей области можно пренебречь);
- линейные размеры преобразователей во много раз меньше длины волны электромагнитного поля;
- длина электродов намного больше их поперечных размеров;

- толщина электродов бесконечно мала;
- диэлектрик изотропен и однороден;
- число слоёв не больше двух, причем граница их раздела совпадает или с плоскостью электродов, или с поверхностью силовых линий.

Так как при достаточно большом количестве электродов и периодическом характере их следования распределение зарядов на одноименных электродах можно считать одинаковыми, то анализ электрического поля преобразователя проведем на примере одной секции в соответствии с рисунком 2. Определение частичных емкостей секции и расчет поля в изотропной среде осуществим методами конформных отображений и непосредственного определения напряженности электрического поля. Для этого половину секции в виде прямоугольника, изображенного на рисунке 2, а, примем за часть плоскости комплексного переменного  $Z$  и конформно отобразим на верхнюю полуплоскость  $t$  (рис. 2, б) с соблюдением следующего соответствия точек:

$$\begin{aligned} a_1(x=0) &\text{ отображается точкой } -(0); \\ a_2(x=r_0) &\text{ отображается точкой } -sn^2 r_0 G_0(g_0)/r, g_0; \\ a_3(x=r_1) &\text{ отображается точкой } -sn^2 r_1 G_0(g_0)/r, g_0; \\ a_4(x=r_2) &\text{ отображается точкой } -sn^2 r_2 G_0(g_0)/r, g_0; \\ a_5(x=r_3) &\text{ отображается точкой } -sn^2 r_3 G_0(g_0)/r, g_0; \\ a_6(x=r) &\text{ отображается точкой } -1. \end{aligned}$$

Такое отображение осуществляется функция:  $t = sn^2 z G_0(g_0)/r, g_0$ , в которой модуль эллиптического интеграла  $G_0(g_0)$  определяется из соотношения:  $b/2r = G'_0(g_0)/G_0(g_0)$ .

Так как потенциалы второго и третьего электродов совпадают, то между ними располагается особая точка  $c_0$ , в которой напряженность поля равна нулю. Эта точка принадлежит границе раздела двух областей и позволяет провести расчеты полей замыкающихся на охранный электрод  $a_3 a_4$  и низкопотенциальный  $a_5 a_6$ . Ее координата определяется исходя из равенства нулю разности потенциалов между охранным  $a_3 a_4$  и низкопотенциальным  $a_5 a_6$  электродами:

$$c_0 = \frac{\int_{a_4}^{a_5} \frac{\xi d\xi}{\sqrt{(\xi - a_1)(\xi - a_2)(\xi - a_3)(\xi - a_4)(a_5 - \xi)(a_6 - \xi)}}}{\int_{a_4}^{a_5} \frac{d\xi}{\sqrt{(\xi - a_1)(\xi - a_2)(\xi - a_3)(\xi - a_4)(a_5 - \xi)(a_6 - \xi)}}}. \quad (2)$$

Рабочая емкость на единицу длины для одной секции  $C_p$  определяется выражением:

$$C_p = \frac{2\tau_{13}}{V_{12}} = 2\epsilon_1\epsilon_0 \frac{\int_{a_3}^{a_6} \frac{(\xi - c_0)d\xi}{\sqrt{(\xi - a_1)(\xi - a_2)(\xi - a_3)(\xi - a_4)(\xi - a_5)(a_6 - \xi)}}}{\int_{a_2}^{a_3} \frac{(c_0 - \xi)d\xi}{\sqrt{(\xi - a_1)(\xi - a_2)(a_3 - \xi)(a_4 - \xi)(a_5 - \xi)(a_6 - \xi)}}},$$

паразитная  $C_n$ :

$$C_n = \frac{2\tau_{12}}{V_{12}} = 2\epsilon_1\epsilon_0 \frac{\int_{a_3}^{a_4} \frac{(c_0 - \xi)d\xi}{\sqrt{(\xi - a_1)(\xi - a_2)(\xi - a_3)(a_4 - \xi)(a_5 - \xi)(a_6 - \xi)}}}{\int_{a_2}^{a_3} \frac{(c_0 - \xi)d\xi}{\sqrt{(\xi - a_1)(\xi - a_2)(a_3 - \xi)(a_4 - \xi)(a_5 - \xi)(a_6 - \xi)}}},$$

где  $\tau_{12}$  и  $\tau_{13}$  – заряды охранного и низкопотенциального электродов;  $V_{12}$  – разность потенциалов между высокопотенциальным  $a_1 a_2$  и заземленным охранным электродом  $a_3 a_4$ ;  $c_0$  – особая точка, определяемая выражением (2).

На рисунке 3 приведены результаты расчета рабочих и паразитных емкостей преобразователя в зависимости от величины относительного расстояния  $b/r$  между плоскостями зеркально-симметричных НИК. Из графиков видно, что рабочая емкость возрастает с увеличением значения этого параметра. Паразитная ем-

кость практически не зависит от величины относительного расстояния  $b/r$ , оставаясь постоянной. Случаю  $b \rightarrow \infty$  соответствует система двух автономных НИК. Это позволяет оценить глубину зоны контроля НИК для однородной среды согласно [5]. Для многосекционного НИК ( $r_0 = 2; r_1 = 3; r_2 = 4; r_3 = 5; r = 7$ ) глубиной зоны контроля можно считать расстояние равное ширине секции  $r$ .

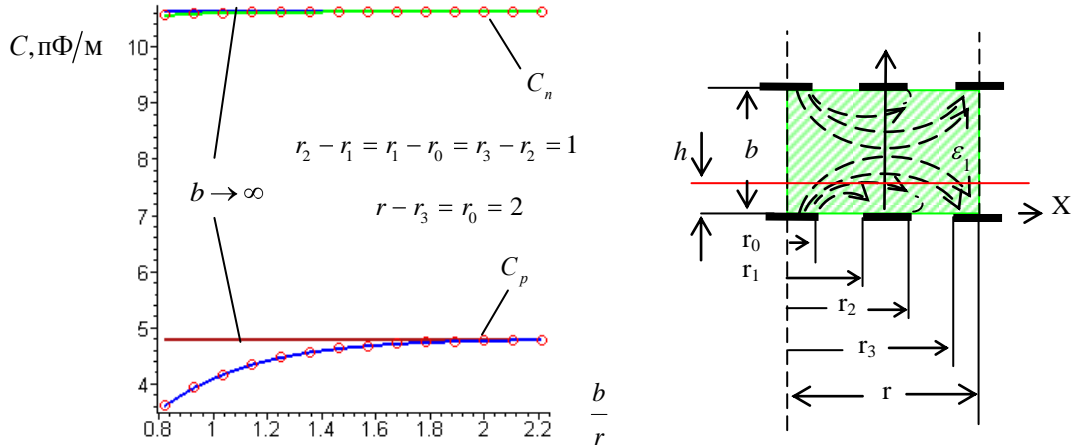


Рис. 3. Графики рабочей и паразитной емкостей на единицу длины электродов для одной секции многосекционного ЗСНИК в зависимости от относительного межплоскостного расстояния  $b/r$

Для расчета картины поля силовых линий преобразователя полуплоскость  $t$  (см. рис. 2, б) отображается на прямоугольник комплексной плоскости  $W$ . В этом случае исходная область  $Z$  связана с  $W$  соотношением:

$$W = F_6 \left( \frac{\operatorname{sn} zG_0(g_0)/r, g_0}{\operatorname{cn} zG_0(g_0)/r, g_0}, \frac{\operatorname{cn} r_0G_0(g_0)/r, g_0}{\operatorname{sn} r_0G_0(g_0)/r, g_0}, g_6 \right),$$

где – модуль эллиптического интеграла  $F_6$  равен

$$g_6 = \frac{\operatorname{sn} r_0G_0(g_0)/r, g_0}{\operatorname{cn} r_0G_0(g_0)/r, g_0} \frac{\operatorname{cn} r_1G_0(g_0)/r, g_0}{\operatorname{sn} r_1G_0(g_0)/r, g_0}.$$

Силовые линии напряженности электрического поля перпендикулярны эквипотенциальным линиям. Поэтому линия, проходящая через особую точку на плоскости  $W$

$$U_{c0} = \operatorname{Re} \left\{ F_6 \left( \frac{\operatorname{sn} F(\sqrt{C_0}, g_0), g_0}{\operatorname{cn} F(\sqrt{C_0}, g_0), g_0}, \frac{\operatorname{cn} r_0G_0(g_0)/r, g_0}{\operatorname{sn} r_0G_0(g_0)/r, g_0}, g_6 \right) \right\} = \text{const},$$

разобьет поле рассматриваемого преобразователя на два прямоугольника (рис. 2, в). Первый представляет собой конформное отображение рабочей области преобразователя на плоскость  $W$ ; второй – конформное отображение паразитной области преобразователя на плоскость  $W$ . Преобразование первого прямоугольника в плоский конденсатор на плоскости комплексного переменного  $W_1$  через квадрант  $t_1$  выполняет функция:

$$W_1 = F_8 \operatorname{sn} W G_7(g_7) / U_{c0}, g_7, g_8, \quad (3)$$

в которой модуль эллиптического интеграла  $G_7(g_7)$  определяется из соотношения:

$$G'_6(g_6) / U_{c0} = G'_8(g_8) / G_8(g_8).$$

Модуль эллиптического интеграла  $F_8$  вычисляется как

$$g_8 = \frac{1}{\operatorname{sn} \left\{ \left( F_6 \left( \frac{\operatorname{sn} r_3G_0(g_0)/r, g_0}{\operatorname{cn} r_3G_0(g_0)/r, g_0}, \frac{\operatorname{cn} r_0G_0(g_0)/r, g_0}{\operatorname{sn} r_0G_0(g_0)/r, g_0}, g_6 \right) \cdot \frac{G_7(g_7)}{U_{c0}} \right), g_7 \right\}}.$$

Выражение (3) позволяет записать обратную функцию, связывающую, рабочую область преобразователя с полем плоского конденсатора:

$$z = \frac{r}{G_0(g_0)} F_0 \left( \sqrt{1 / \left( 1 + \left( \frac{\operatorname{sn} r_0 G_0(g_0)/r, g_0}{\operatorname{cn} r_0 G_0(g_0)/r, g_0} \operatorname{sn} \left( \frac{F_7 \operatorname{sn} W_1, g_8, g_7}{G_7(g_7)} U_{c0}, g_6 \right) \right)^{-2} \right)}, g_0 \right), \quad (4)$$

где  $\operatorname{sn} W_1, g_8 = \frac{\operatorname{sn} u, g_8 \operatorname{dn} v, g'_8 + i \cdot \operatorname{cn} u, g_8 \operatorname{dn} u, g_8 \operatorname{sn} v, g'_8 \operatorname{cn} v, g'_8}{\operatorname{cn}^2 v, g'_8 + g_8^2 \operatorname{sn}^2 u, g_8 \operatorname{sn}^2 v, g'_8}$ ,  $g'_8 = \sqrt{1 - g_8^2}$ .

Для второго прямоугольника отображение на квадрант  $t_2$  приводит к системе экранированного НИК. Преобразование на квадрант  $t_2$  выполняет функция:

$$t_2 = \operatorname{sn} (W - U_{c0}) G_9(g_9) / (G_6(g_6) - U_{c0}), g_9,$$

в которой модуль эллиптического интеграла  $G_9(g_9)$  определяется из соотношения:

$$G'_6(g_6) / (G_6(g_6) - U_{c0}) = G'_9(g_9) / G_9(g_9).$$

Размеры электродов:

$$R_0 = 1;$$

$$R_1 = \operatorname{sn} \left( \frac{F_6 \left( \frac{\operatorname{sn} r_1 G_0(g_0)/r, g_0}{\operatorname{cn} r_1 G_0(g_0)/r, g_0} \operatorname{cn} r_0 G_0(g_0)/r, g_0, g_6 \right) - U_{c0}}{G_1(g_1) - U_{c0}} G_9(g_9), g_9 \right);$$

$$R_2 = \operatorname{sn} \left( \frac{F_6 \left( \frac{\operatorname{sn} r_2 G_0(g_0)/r, g_0}{\operatorname{cn} r_2 G_0(g_0)/r, g_0} \operatorname{cn} r_0 G_0(g_0)/r, g_0, g_6 \right) - U_{c0}}{G_1(g_1) - U_{c0}} G_9(g_9), g_9 \right).$$

Обратная функция, связывающая, паразитную область преобразователя с полем плоского конденсатора  $W_2$ , позволяет построить картину поля силовых линий напряженности для паразитной области. Она имеет вид:

$$z = \frac{r}{G_0(g_0)} F_0 \left( \sqrt{1 / \left( 1 + \left( \frac{\operatorname{sn} r_0 G_0(g_0)/r, g_0}{\operatorname{cn} r_0 G_0(g_0)/r, g_0} \cdot \operatorname{sn} \left( \left( F_2 \left( R_2 \sqrt{\frac{\alpha_3^2 \operatorname{sn}^2(W_2, g_{10})}{1 + \alpha_3^2 \operatorname{sn}^2(W_2, g_{10})}}, g_4 \right) G_6(g_6) - U_{c0} + U_{c0} \right), g_6 \right)^{-2} \right)}, g_0 \right), g_0},$$

где эллиптический синус

$$\operatorname{sn} W_1, g_{10} = \frac{\operatorname{sn} u, g_{10} \operatorname{dn} v, g'_{10} + i \cdot \operatorname{cn} u, g_{10} \operatorname{dn} u, g_{10} \operatorname{sn} v, g'_{10} \operatorname{cn} v, g'_{10}}{\operatorname{cn}^2 v, g'_{10} + g_{10}^2 \operatorname{sn}^2 u, g_{10} \operatorname{sn}^2 v, g'_{10}},$$

$$\alpha_3 = \sqrt{1 / R_2^2 - 1}, \quad g_{10} = \frac{1}{R_1} \sqrt{R_2^2 - R_1^2 / R_2^2 - 1}, \quad g'_{10} = \sqrt{1 - g_{10}^2}.$$

Глубина этой области  $h$ , исключаемой из зоны контроля, для однородной среды находится из условия максимума функции  $z_\mu$ , описывающей ход силовой линии напряженности, отделяющей первую область от второй (4):

$$z = \frac{r}{G_0(g_0)} F_0 \left( \sqrt{1 / \left( 1 + \left( \frac{\operatorname{sn} r_0 G_0(g_0)/r, g_0}{\operatorname{cn} r_0 G_0(g_0)/r, g_0} \operatorname{sn} \left( \frac{F_7 \operatorname{sn} W_1, g_8, g_7}{G_7(g_7)} U_{c0}, g_6 \right) \right)^{-2} \right)}, g_0 \right), g_0,$$

где  $\operatorname{sn} W_1, g_8 = \operatorname{dn} v, g'_8 / \operatorname{cn}^2 v, g'_8 + g_8^2 \operatorname{sn}^2 v, g'_8$ ,  $g'_8 = \sqrt{1 - g_8^2}$ .

Глубина области, исключаемой из зоны контроля, и рабочая емкость преобразователя практически не изменяются при изменении положения охранного электрода относительно потенциального. Это хорошо видно из расчетной картины поля (рис. 4). В случае анизотропной среды, диэлектрические свойства

которой описываются тензором второго ранга, расчеты ЗСНИК проводятся аналогичным образом. С этой целью осуществляют изотропизирующее преобразование координат. Если силовые линии электрического поля ленточных электродов ЗСНИК замыкаются в плоскости анизотропии  $ZOX$  (электроды ориентированы вдоль оси  $OY$ ), то диэлектрическая проницаемость среды выразится как  $\epsilon = \sqrt{\epsilon_x \epsilon_z}$ , а размеры электродов [6]:  $r'_i = r_i \sqrt{\epsilon_z / \epsilon_x}$ .

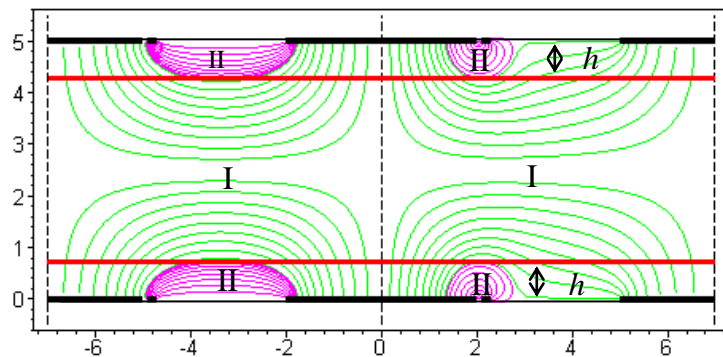


Рис. 4. Расчетная картина поля многосекционного трехзажимного ЗСНИК для различного места расположения охранного электрода

Расчеты показывают, что по мере разнесения потенциальных электродов отношение емкостей заполненного и не заполненного преобразователя стремится к значению константы тензора диэлектрической проницаемости вдоль выбранной оси анизотропии. Так, для материала береза, константы тензора диэлектрической проницаемости которого  $\epsilon_x = 3,41$ ,  $\epsilon_y = 3,90$ ,  $\epsilon_z = 3,38$ , отношение емкостей для зазора между электродами 3 мм составляет 3,71, а для зазора 6 мм – 3,84. На этом основана методика неразрушающего определения констант тензора диэлектрической проницаемости для плоских материалов [2].

**Заключение.** Для физического моделирования электрических полей в ортотропных средах разработана математическая модель ЗСНИК, подключаемых к виртуальным измерителям имmittанса. Она позволяет решать задачи оптимального проектирования преобразователей для неразрушающего контроля анизотропии диэлектрических свойств плоских ортотропных материалов.

Работа выполнена при финансовой поддержке ГКПНИ «Техническая диагностика-36» (№ 20062708).

#### ЛИТЕРАТУРА

1. Матис, И.Г. Электроемкостные преобразователи для неразрушающего контроля / И.Г. Матис. – Рига: Зиннатне, 1982. – 302 с.
2. Способ определения анизотропии свойств тонких полимерных материалов: а.с. 1549327 СССР, МКИ G 01 N 27/22 / А.А. Джежора, В.В. Щербаков, В.Л. Шушкевич, Л.И. Кузнецова; опубл. 30.01.90 // Открытия. Изобрет. – 1990. – № 9. – С. 271.
3. Штраус, В.Д. Методики неразрушающего определения диэлектрической проницаемости анизотропных полимерных материалов / В.Д. Штраус // Механика полимеров. – 1974. – № 4. – С. 715 – 719.
4. Измерительный конденсатор для контроля диэлектрических свойств анизотропных материалов: а.с. 287183 СССР, МКИ G 01 R 27/22 / И.Г. Матис. – № 1327806/18-10; заявл. 05.05.69; опубл. 19.11.70 // Открытия. Изобрет. – 1970. – № 35.
5. Способ определения глубины зоны контроля плоского накладного измерительного конденсатора: пат. № 11238 BY, G 01R 27/26 / А.А. Джежора. – № а 20060325; заявл. 04.10. 2006; опубл. 30.12.2007 // Афіцыны бюл. / Нац. цэнтр інтэлектуал. уласнасці. – 2007. – № 1.
6. Джежора, А.А. Электрические поля накладных измерительных конденсаторов в ортотропных средах / А.А. Джежора, В.В. Рубаник // Весці НАН Беларусі. Сер. Фіз.-тэхн. навук. – 2005. – № 1. – С. 82 – 86.

Поступила 21.09.2009